

УДК 542.971+535.379

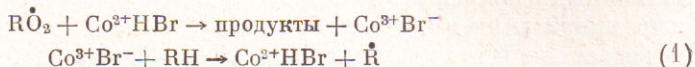
ФИЗИЧЕСКАЯ ХИМИЯ

И. В. ЗАХАРОВ, Л. А. БАЛАНОВ, О. Г. ПОПОВА

ХЕМИЛЮМИНЕСЦЕНЦИЯ И КИНЕТИКА РЕАКЦИИ ОКИСЛЕНИЯ
ТЕТРАЛИНА В УКСУСНОЙ КИСЛОТЕ, КАТАЛИЗИРОВАННОЙ
АЦЕТАТОМ КОБАЛЬТА И БРОМИДОМ НАТРИЯ

(Представлено академиком Н. М. Эмануэлем 8 VII 1969)

Катализаторы, содержащие ионы кобальта и брома, исключительно эффективны в реакциях окисления углеводородов в растворе уксусной кислоты и других слабых кислот (1, 2). Механизм их действия еще во многом неясен. В работе делается попытка уточнения механизма совместного действия ионов кобальта и брома в реакции окисления тетралина в уксусной кислоте, предложенного И. Камия (3) для реакции, катализированной де-каноатом кобальта и бромидом натрия. Увеличение скорости окисления при введении бромида было объяснено (3) новым типом реакции продолжения (1).



между перекисным радикалом и альтернативной структурой монобромида кобальта в уксусной кислоте

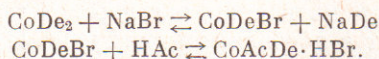
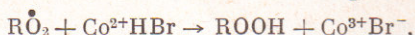


Схема окисления тетралина, дополненная предложенными реакциями продолжения, позволила описать наблюдавшиеся закономерности; пропорциональность увеличения скорости окисления концентрации тетралина и независимость концентрации гидроперекиси от внесения бромида натрия. Концентрация гидроперекиси была измерена при $[\text{Co}] = 6 \cdot 10^{-3}$ мол/л в присутствии и в отсутствие $6 \cdot 10^{-3}$ мол/л NaBr . Величины концентраций были найдены почти равными ($2,1 \cdot 10^{-2}$ и $2,25 \cdot 10^{-2}$ мол/л с NaBr), хотя скорость окисления увеличилась втрое в присутствии бромида натрия. Если бы стадия продолжения обеспечивалась по реакции



то концентрация гидроперекиси в стационарном режиме должна была бы быть пропорциональной скорости окисления. Слабая зависимость концентрации гидроперекиси послужила подтверждением реакции (1).

Экспериментальные результаты

Реакция окисления тетралина проводилась в растворе ледяной уксусной кислоты при $50-60^\circ\text{C}$, $[\text{CoAc}_2] = 5 \cdot 10^{-3} - 4 \cdot 10^{-2}$ мол/л, $[\text{NaBr}] = 1 \cdot 10^{-3} - 4 \cdot 10^{-2}$ мол/л, $[\text{RH}] = 0,067 - 1,0$ мол/л. Скорость окисления измерялась по поглощению кислорода. Хемилюминесценция регистрировалась на фотометрической установке. Концентрация гидроперекиси определялась иодометрическим и хемилюминесцентным (4) методами.

Зависимость от концентрации бромида натрия. На рис. 1 приведены кинетические кривые для скорости окисления и хемилюминесценции в отсутствие бромида натрия. Хемилюминесценция в реак-

циях окисления, катализированных солями металлов, обусловлена рекомбинацией перекисных радикалов (5). Если бы реакция продолжения с монобромидом кобальта (его производной) не приводила к образованию гидроперекиси, то введение бромида натрия не изменило бы величины концентрации перекисных радикалов, а следовательно, и величины интенсивности свечения в стационарном режиме окисления. Как видно из рис. 1, введение бромида увеличивает не только скорость окисления, но и интенсивность свечения. При концентрациях бромида до $[NaBr] / [CoAc_2] = 0,5$ интенсивность свечения практически пропорциональна скорости окисления (рис. 2). Нарушение пропорциональности, ио-видимому, обусловлено поглощением люминесценции дигидробромидом кобальта, концентрация которого с ростом $[NaBr] / [CoAc_2]$ увеличивается и который обладает сильным поглощением в области длин волн 600—700 мкм. По нашей оценке, при $t = 50^\circ C$ и отношении $[NaBr] / [CoAc_2] = 2$ в дигидробромид связано 10—15% ацетата кобальта, при $[NaBr] / [CoAc_2] = 4$ около 40%. Слабая зависимость концентрации гидроперекиси от концентрации бромида натрия (3) становится понятной, если обратиться к рис. 1б, из которого видно, что в опыте с бромидом натрия увеличивается не только стационарная, но и начальная интенсивность свечения, а также уменьшается время установления стационарного режима. Это означает, что бромидные формы соли кобальта участвуют

не только в стадии образования гидроперекиси, но и в стадии ее разложения. На рис. 2а приведена зависимость концентрации гидроперекиси от концентрации бромида натрия. Наблюдаемый при высоких концентрациях бромида рост концентрации гидроперекиси можно объяснить уменьшением концентрации активных форм кобальта в связи с переходом части ацетата кобальта в неактивный дигидробромид кобальта.

Зависимость от концентрации тетралина. В отсутствие бромида скорость окисления пропорциональна квадрату концентрации тетралина (рис. 3, 3). В присутствии бромида натрия при уменьшении концентрации тетралина скорость окисления стремится к постоянной величине, зависящей от концентраций ацетата кобальта и бромида натрия (рис. 3, 1, 2). Интенсивность свечения при этом также стремится к постоянной величине. Увеличение скорости окисления, вызванное бромидом,

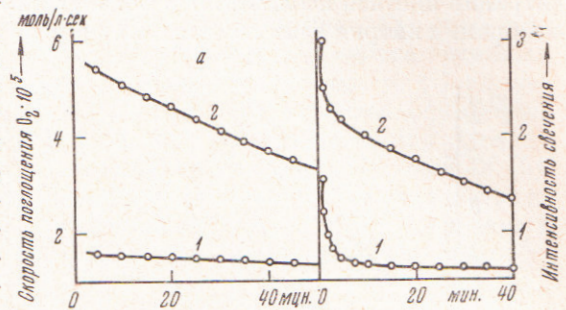


Рис. 1. Кинетика поглощения кислорода (а) и хемилюминесценции (б) $t = 50^\circ C$; $[RH] = 0,736$ моль/л; $[CoAc_2] = 2 \cdot 10^{-2}$ моль/л; $[ROOH]_{\text{нач}} = 1,53 \cdot 10^{-3}$ моль/л. 1 — $[NaBr] = 0$, 2 — $[NaBr] = 1 \cdot 10^{-2}$ моль/л

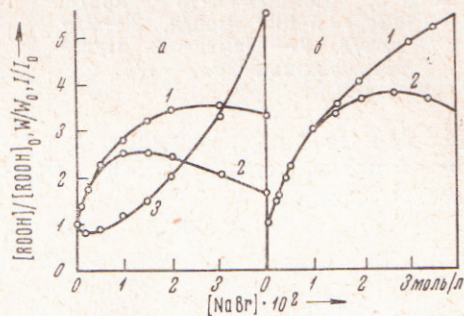


Рис. 2. Зависимость величин скорости окисления (1), интенсивности свечения (2), концентрации гидроперекиси (3) в стационарном режиме окисления от концентрации $NaBr$. $t = 50^\circ C$, $[RH] = 0,736$ моль/л. а — $[CoAc_2] = 10^{-2}$ моль/л, б — $[CoAc_2] = 2 \cdot 10^{-2}$ моль/л измерены на десятой минуте после начала окисления. $W_0 = 1,5 \cdot 10^{-5}$ моль/л·сек, $[ROOH]_0 = 1,75 \cdot 10^{-3}$ моль/л

линейно связано с концентрацией тетралина (рис. 3, пунктирные кривые).

Зависимость от концентрации ацетата кобальта. Как видно из рис. 4, при $[CoAc_2] \gg [NaBr]$ скорость окисления достигает постоянной величины и не изменяется при дальнейшем увеличении концентрации ацетата кобальта. Это можно объяснить тем, что в этих условиях весь бромид натрия связывается в монобромид кобальта.

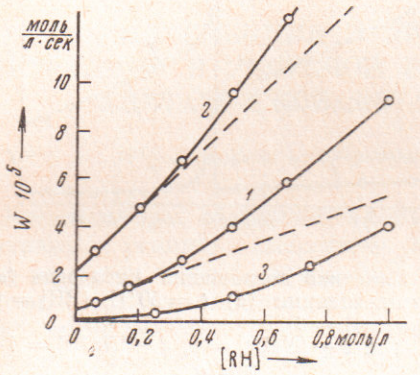


Рис. 3. Зависимость скорости окисления от концентрации тетралина $t = 60^\circ C$; $[CoAc_2] = 4 \cdot 10^{-2}$ моль/л. 1 — $[NaBr] = 5 \cdot 10^{-3}$ моль/л, 2 — $2,5 \cdot 10^{-2}$ моль/л, 3 — $[NaBr] = 0$. Пунктирные кривые $W_{Br} - W_0$

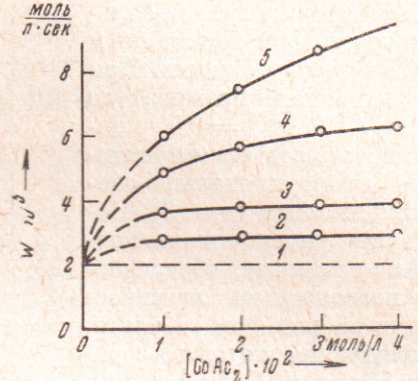
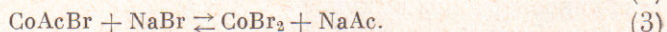
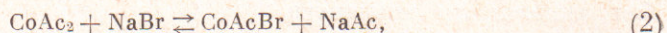


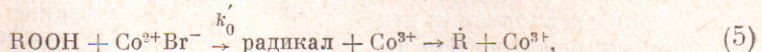
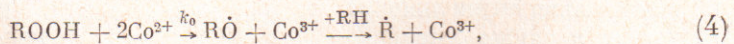
Рис. 4. Зависимость скорости окисления от концентрации соли кобальта. $t = 60^\circ C$; $[RH] = 0,67$ моль/л. 1 — $[NaBr] = 0$, 2 — $[NaBr] = 1 \cdot 10^{-2}$ моль/л, 3 — $[NaBr] = 2 \cdot 10^{-3}$, 4 — $[NaBr] = 5 \cdot 10^{-3}$, 5 — $[NaBr] = 1 \cdot 10^{-2}$ моль/л

Механизм окисления. В растворе уксусной кислоты между ацетатом двухвалентного кобальта и бромидом натрия осуществляются равновесные реакции

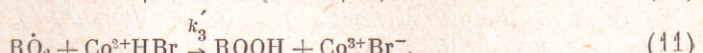
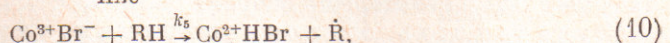
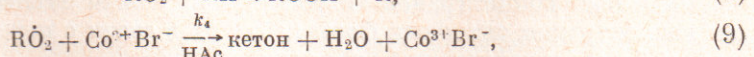
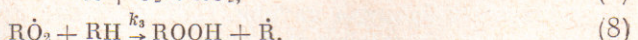


В предлагаемой схеме активным в реакции продолжения принимается монобромид кобальта $CoAcBr$ (ниже $Co^{2+}Br^-$), а комплекс $Co^{2+}HBr$, ответственный за разветвление, образуется в кинетически равновесной концентрации в процессе окисления.

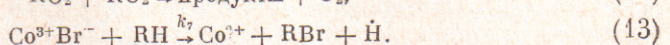
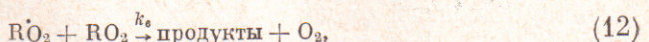
Инициирование цепи.



Продолжение цепи.



Обрыв цепи.



В реакции (9) взаимодействия перекисного радикала с монобромидом кобальта инициируются активные комплексы $\text{Co}^{3+}\text{Br}^-$ (или Co^{2+}Br), обладающие по брому свойствами радикала⁽⁶⁾. Они обеспечивают продолжение цепи по реакции с углеводородом (10). Реакция (11) перекисного радикала с образующимся в реакции (10) бромистоводородным комплексом Co^{2+}HBr приводит к образованию гидроперекиси, что обеспечивает разветвление, необходимое для развития независимого от реакции (8) автоокислительного процесса. В реакции обрыва (13) происходит гибель активных комплексов $\text{Co}^{3+}\text{Br}^-$. Реакция объясняет наблюдаемое на опыте⁽⁶⁾ уменьшение концентрации ионных форм бромида в ходе процесса окисления. Реакции (4), (6) описывают закономерности, наблюдаемые при катализитическом разложении гидроперекиси ацетатом кобальта^(7, 8). Реакция (5) отражает увеличение скорости распада при добавлении бромида натрия.

Из условий стационарности относительно активных промежуточных частиц и гидроперекиси может быть получено выражение для концентрации перекисных радикалов

$$[\text{R}\dot{\text{O}}_2] = \frac{k_3}{2k_6} [\text{RH}] + \frac{k_5}{k_7} \frac{k_4}{2k_6} [\text{Co}^{2+}\text{Br}^-]. \quad (\text{I})$$

В условиях $k_5/k_7 \gg 1$, т. е. в условиях длинной цепи по $\text{Co}^{3+}\text{Br}^-$, для скорости поглощения кислорода можно написать

$$W = k_3[\text{R}\dot{\text{O}}_2][\text{RH}] + k_3[\text{R}\dot{\text{O}}_2][\text{Co}^{2+}\text{HBr}]. \quad (\text{II})$$

Величина кинетически равновесной концентрации комплекса Co^{2+}HBr может быть выражена из условий стационарности

$$[\text{Co}^{2+}\text{HBr}] = \frac{k_5}{k_7} \frac{k_4}{k_3} [\text{Co}^{2+}\text{Br}^-]. \quad (\text{III})$$

Из (I), (II), (III) получаем выражение для скорости поглощения кислорода в стационарном режиме окисления

$$W = \frac{k_3^2 [\text{RH}]^2}{2k_6} + \frac{k_5}{k_7} \frac{k_3 k_4}{k_6} [\text{Co}^{2+}\text{Br}^-][\text{RH}] + \frac{k_5^2}{k_7^2} \frac{k_4^2}{2k_6} [\text{Co}^{2+}\text{Br}^-]^2. \quad (\text{IV})$$

Нетрудно видеть, что выражение для скорости рекомбинации перекисных радикалов $W_{\text{рек}} = 2k_6[\text{RO}_2]^2$ будет совпадать с (IV). Отсюда следует, что интенсивность свечения, пропорциональная скорости рекомбинации, будет прямо пропорциональна скорости окисления. Выражение (IV) полностью описывает зависимости, наблюдаемые по поглощению кислорода. Экспериментальная зависимость концентрации гидроперекиси принципиально согласуется с рассматриваемой схемой.

Таким образом, реакция окисления тетралици в присутствии ионов кобальта и брома является автоокислительным процессом с двумя независимыми путями образования гидроперекиси: в реакциях перекисного радикала с углеводородом и с бромистоводородным комплексом. Показано, что все наблюдаемые закономерности могут быть объяснены, если принять, что инициирование активного комплекса $\text{Co}^{3+}\text{Br}^-$, обеспечивающего продолжение цепи и образование бромистоводородного комплекса Co^{2+}HBr , происходит по реакции переноса электрона между бромидом кобальта и перекисным радикалом.

Московский физико-технический
институт

Поступило
19 VI 1969

ЦИТИРОВАННАЯ ЛИТЕРАТУРА

- ¹ D. A. S. Rawens, Trans. Farad. Soc., **55**, № 10, 1768 (1959). ² A. S. Hay, H. S. Blanchard, Canad. J. Chem., **43**, № 5, 1306 (1965). ³ J. Kamiya, Tetrahedron, **22**, № 7, 2029 (1966). ⁴ И. В. Захаров, В. Я. Шляпинтох, Кинетика и катализ, **4**, 706 (1963). ⁵ И. В. Захаров, В. Я. Шляпинтох, Кинетика и катализ, **4**, 239 (1963). ⁶ S. Koichiro, J. Kamiya, N. Ohta, Bull. Chem. Soc. Japan, **41**, № 3, 641 (1968). ⁷ A. E. Woodward, R. B. Mesrobian, J. Am. Chem. Soc., **75**, 6189 (1953). ⁸ И. В. Захаров, В. Я. Шляпинтох, ДАН, **150**, № 5, 1069 (1963).